

Aplicações e métodos para programação semi-infinita e optimização multi-local

A. Ismael F. Vaz

Departamento de Produção e Sistemas

Escola de Engenharia, Universidade do Minho

aivaz@dps.uminho.pt

Edite M.G.P. Fernandes

Eugénio C. Ferreira

Luís N. Vicente



Universidade do Minho

Conteúdo

❖ Conteúdo

Conteúdo

- Programação semi-infinita (PSI)
 - ❖ Definição e notação
 - ❖ Métodos para PSI
- Casos práticos
 - ❖ Poluição atmosférica
 - ❖ Controlo óptimo
- Optimização global e multi-local
 - ❖ Colónia de partículas (*Particle Swarm*) em optimização global
 - ❖ Colónia de partículas em optimização multi-local



Universidade do Minho

Conteúdo

❖ Conteúdo

Conteúdo

- Programação semi-infinita (PSI)
 - ❖ Definição e notação
 - ❖ Métodos para PSI
- Casos práticos
 - ❖ Poluição atmosférica
 - ❖ Controlo óptimo
- Optimização global e multi-local
 - ❖ Colónia de partículas (*Particle Swarm*) em optimização global
 - ❖ Colónia de partículas em optimização multi-local



Universidade do Minho

Conteúdo

❖ Conteúdo

Conteúdo

- Programação semi-infinita (PSI)
 - ❖ Definição e notação
 - ❖ Métodos para PSI
- Casos práticos
 - ❖ Poluição atmosférica
 - ❖ Controlo óptimo
- Optimização global e multi-local
 - ❖ Colónia de partículas (*Particle Swarm*) em optimização global
 - ❖ Colónia de partículas em optimização multi-local



Universidade do Minho

Programação semi-infinita

- ❖ Notação
- ❖ Um exemplo simples ($n = 1$, $m = 1$ e $p = 1$)
- ❖ Um exemplo simples - conclusões
- ❖ Métodos para PSI

Programação semi-infinita



Universidade do Minho

Notação

Um problema de PSI tem a seguinte formulação

$$\min_{x \in R^n} f(x)$$

$$s.a \quad g_i(x, t) \leq 0, \quad i = 1, \dots, m$$

$$\forall t \in T \subset R^p,$$

onde $f(x)$ é a função objectivo e $g_i(x, t)$, $i = 1, \dots, m$, são as funções das restrições infinitas.

Programação
semi-infinita

❖ Notação

- ❖ Um exemplo simples ($n = 1$, $m = 1$ e $p = 1$)
- ❖ Um exemplo simples - conclusões
- ❖ Métodos para PSI



Notação

Um problema de PSI tem a seguinte formulação

$$\min_{x \in R^n} f(x)$$

$$s.a \quad g_i(x, t) \leq 0, \quad i = 1, \dots, m$$

$$\forall t \in T \subset R^p,$$

onde $f(x)$ é a função objectivo e $g_i(x, t)$, $i = 1, \dots, m$, são as funções das restrições infinitas.

Um ponto admissível (\bar{x}) tem que satisfazer:

$$g_i(\bar{x}, t) \leq 0, \quad i = 1, \dots, m, \quad \forall t \in T$$

significando que máximo global de g_i tem de ser menor ou igual a zero.



Universidade do Minho

Programação
semi-infinita

❖ Notação

❖ Um exemplo
simples ($n = 1$,
 $m = 1$ e $p = 1$)

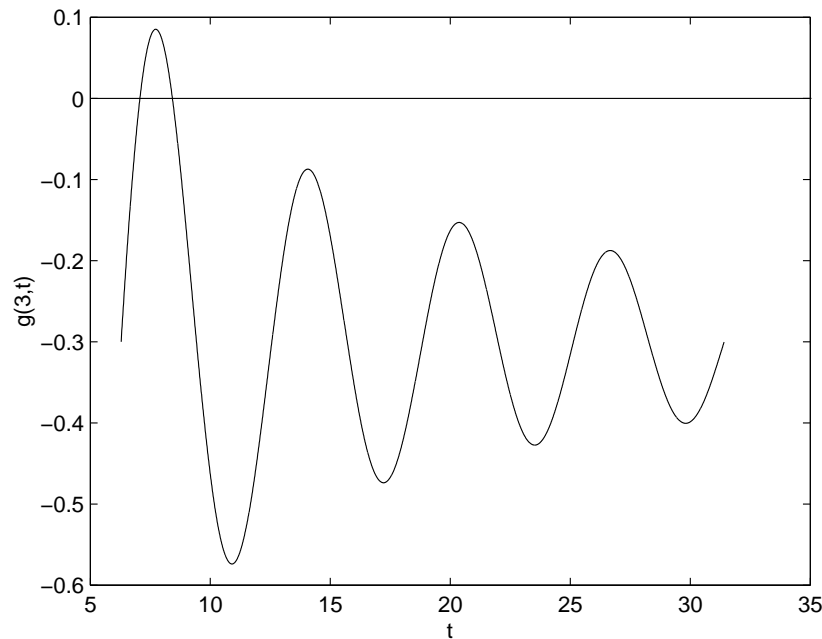
❖ Um exemplo
simples -
conclusões

❖ Métodos para PSI

Um exemplo simples ($n = 1$, $m = 1$ e $p = 1$)

$$\min_{x \in \mathbb{R}^n} x^2$$

$$\text{s.a. } \frac{x}{t} \sin(t) - \frac{x}{10} \leq 0$$
$$\forall t \in [2\pi, 10\pi]$$



$$g(3, t) = \frac{3}{t} \sin(t) - \frac{3}{10}$$

$\bar{x} = 3$ é admissível?



Universidade do Minho

Programação
semi-infinita

- ❖ Notação
- ❖ Um exemplo simples ($n = 1$, $m = 1$ e $p = 1$)
- ❖ Um exemplo simples - conclusões
- ❖ Métodos para PSI

Um exemplo simples - conclusões

A simples verificação de admissibilidade implica a resolução (aproximada) de m problemas de optimização global

$$\max_{t \in T} g_i(\bar{x}, t)$$



Universidade do Minho

Programação
semi-infinita

- ❖ Notação
- ❖ Um exemplo simples ($n = 1$, $m = 1$ e $p = 1$)
- ❖ Um exemplo simples - conclusões
- ❖ Métodos para PSI

Um exemplo simples - conclusões

A simples verificação de admissibilidade implica a resolução (aproximada) de m problemas de otimização global

$$\max_{t \in T} g_i(\bar{x}, t)$$

Optimização Global



- ❖ Notação
- ❖ Um exemplo simples ($n = 1$, $m = 1$ e $p = 1$)
- ❖ Um exemplo simples - conclusões
- ❖ Métodos para PSI

Um exemplo simples - conclusões

A simples verificação de admissibilidade implica a resolução (aproximada) de m problemas de otimização global

$$\max_{t \in T} g_i(\bar{x}, t)$$

Optimização Global

Para garantir a convergência de alguns métodos para PSI é necessário calcular todos os ótimos (máximos) locais dos problemas anteriores.



Universidade do Minho

Programação
semi-infinita

- ❖ Notação
- ❖ Um exemplo simples ($n = 1$, $m = 1$ e $p = 1$)
- ❖ Um exemplo simples - conclusões
- ❖ Métodos para PSI

Um exemplo simples - conclusões

A simples verificação de admissibilidade implica a resolução (aproximada) de m problemas de optimização global

$$\max_{t \in T} g_i(\bar{x}, t)$$

Optimização Global

Para garantir a convergência de alguns métodos para PSI é necessário calcular todos os óptimos (máximos) locais dos problemas anteriores.

Optimização Multi-Local



Universidade do Minho

Programação
semi-infinita

- ❖ Notação
- ❖ Um exemplo simples ($n = 1$, $m = 1$ e $p = 1$)
- ❖ Um exemplo simples - conclusões
- ❖ Métodos para PSI

Métodos para PSI

Métodos de discretização - São métodos que discretizam o domínio T , por exemplo, numa grelha de pontos. No exemplo anterior, a discretização do domínio $[2\pi, 10\pi]$ com um passo de grelha de 0.01 origina um problema finito com $\frac{10\pi - 2\pi}{0.01} \approx 21513$ restrições. (Uma única restrição do tipo infinito!!!)



Universidade do Minho

Programação
semi-infinita

- ❖ Notação
- ❖ Um exemplo simples ($n = 1$, $m = 1$ e $p = 1$)
- ❖ Um exemplo simples - conclusões
- ❖ Métodos para PSI

Métodos para PSI

Métodos de discretização - São métodos que discretizam o domínio T , por exemplo, numa grelha de pontos. No exemplo anterior, a discretização do domínio $[2\pi, 10\pi]$ com um passo de grelha de 0.01 origina um problema finito com $\frac{10\pi - 2\pi}{0.01} \approx 21513$ restrições. (Uma única restrição do tipo infinito!!!)

Métodos das trocas - São métodos que resolvem aproximadamente o problema multi-local incluindo e/ou removendo (trocas) restrições do problema finito. (Inserindo planos de corte - Programação linear).



- ❖ Notação
- ❖ Um exemplo simples ($n = 1$, $m = 1$ e $p = 1$)
- ❖ Um exemplo simples - conclusões
- ❖ Métodos para PSI

Métodos para PSI

Métodos de discretização - São métodos que discretizam o domínio T , por exemplo, numa grelha de pontos. No exemplo anterior, a discretização do domínio $[2\pi, 10\pi]$ com um passo de grelha de 0.01 origina um problema finito com $\frac{10\pi - 2\pi}{0.01} \approx 21513$ restrições. (Uma única restrição do tipo infinito!!!)

Métodos das trocas - São métodos que resolvem aproximadamente o problema multi-local incluindo e/ou removendo (trocas) restrições do problema finito. (Inserindo planos de corte - Programação linear).

Métodos de redução - São métodos que resolvem o problema multi-local e usam as soluções como restrições no problema finito. No exemplo anterior com 5 máximos (atenção ao extremo!) resolveria um problema com 5 restrições.



Universidade do Minho

Casos de estudo

Casos de estudo

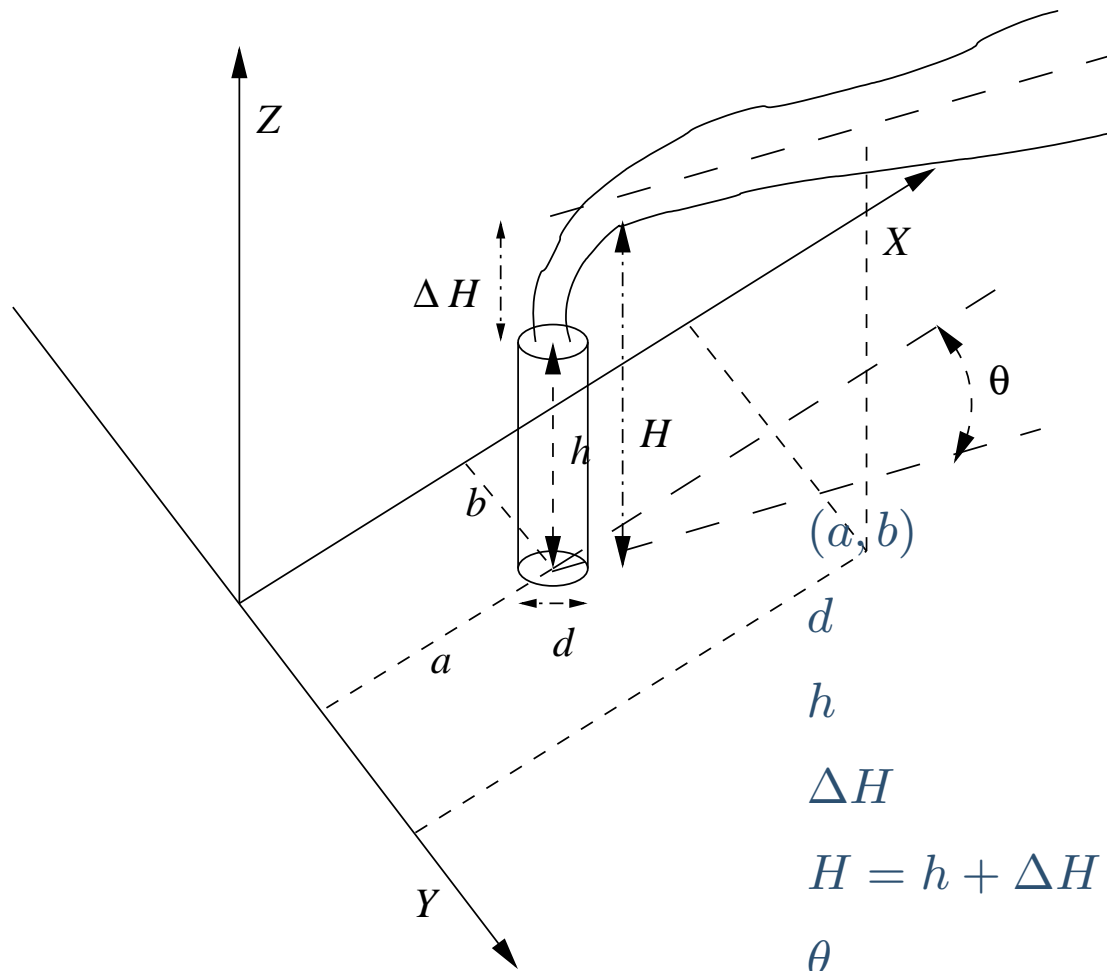


Universidade do Minho

Redução da poluição

Poluição atmosférica

- ❖ Redução da poluição
- ❖ Modelo de dispersão
- ❖ Suposições
- ❖ Formulação



posição da chaminé
diâmetro interno
altura
elevação do penacho
altura efectiva
direcção do vento



Modelo de dispersão

Assumindo uma dispersão com distribuição Gaussiana, a concentração da poluição nas posições x , y e z de uma fonte emissora contínua com altura efectiva da chaminé de \mathcal{H} , é dada por

$$C(x, y, z, \mathcal{H}) = \frac{Q}{2\pi\sigma_y\sigma_z\mathcal{U}} e^{-\frac{1}{2}\left(\frac{y}{\sigma_y}\right)^2} \left(e^{-\frac{1}{2}\left(\frac{z-\mathcal{H}}{\sigma_z}\right)^2} + e^{-\frac{1}{2}\left(\frac{z+\mathcal{H}}{\sigma_z}\right)^2} \right)$$

onde Q (gs^{-1}) é a taxa de emissão uniforme da poluição, \mathcal{U} (ms^{-1}) é a velocidade média do vento, σ_y (m) e σ_z (m) são os desvios padrões no plano horizontal e vertical, respectivamente. $\mathcal{Y} = (x - a) \sin(\theta) + (y - b) \cos(\theta)$ indica uma deslocação da fonte para a posição (a, b) e uma rotação de θ (direcção do vento, $0 \leq \theta \leq 2\pi$).

σ_y e σ_z são dependentes de \mathcal{X} dado por $\mathcal{X} = (x - a) \cos(\theta) - (y - b) \sin(\theta)$.



Universidade do Minho

Poluição
atmosférica

- ❖ Redução da poluição
- ❖ Modelo de dispersão
- ❖ **Suposições**
- ❖ Formulação

Suposições

- Elevação do penacho dado pela equação de Holland;
- Assumindo n fontes distribuídas numa região;
- C_i é a contribuição da fonte i para a concentração total;
- Gás quimicamente inerte.



Formulação

Minimizando a redução da poluição enquanto se mantém o nível da concentração da poluição abaixo de um patamar pode ser formulado como o seguinte problema de PSI

Poluição atmosférica

- ❖ Redução da poluição
- ❖ Modelo de dispersão
- ❖ Suposições
- ❖ **Formulação**

$$\min_{u \in R^n} \sum_{i=1}^n p_i r_i$$

s.a $g(u, v \equiv (x, y)) \equiv$

$$\sum_{i=1}^n (1 - r_i) C_i(x, y, 0, \mathcal{H}_i) \leq C_0$$

$$\forall v \in \mathcal{R} \subset R^2,$$

Atenção à notação	
Formulação	PSI
u	x
x	t_1
y	t_2
v	t

where $u = (r_1, \dots, r_n)$ é a redução da poluição e p_i , $i = 1, \dots, n$, é o custo associado à fonte i (limpar ou não produzir).



Formulação geral

O problema de controlo óptimo na forma geral é

$$\begin{aligned} \max \quad & J(t_f) \\ \text{s.a} \quad & \dot{x} = f(x, u, t) \\ & \underline{x} \leq x(t) \leq \bar{x} \\ & \underline{u} \leq u(t) \leq \bar{u} \\ & \forall t \in [t_0, t_f] \end{aligned}$$

em que x são as variáveis de estado, u são as variáveis de controlo (funções do tempo t), t_0 , t_f são o tempo inicial e final, respectivamente, e

$$J(t_f) = \varphi(x(t_f), t_f) + \int_{t_0}^{t_f} \phi(x, u, t) dt,$$

onde φ é o índice de desempenho das variáveis de estado no tempo final t_f e ϕ é o índice de desempenho integrada durante a operação.



Caso particular de processo semi-contínuo

Problema de optimização do processo semi-contínuo de produção de Etanol.

O problema de optimização é: ($t_0 = 0$ e $t_f = 61.2$ dias)

$$\max_{u(t)} J(t_f) \equiv x_3(t_f)x_4(t_f)$$

$$s.a \quad \frac{dx_1}{dt} = g_1x_1 - u\frac{x_1}{x_4}$$

$$\frac{dx_2}{dt} = -10g_1x_1 + u\frac{150 - x_2}{x_4}$$

$$\frac{dx_3}{dt} = g_2x_1 - u\frac{x_3}{x_4}$$

$$\frac{dx_4}{dt} = u$$

$$0 \leq x_4(t_f) \leq 200$$

$$0 \leq u(t) \leq 12$$

$$\forall t \in [t_0, t_f]$$

com

$$g_1 = \left(\frac{0.408}{1 + x_3/16} \right) \left(\frac{x_2}{0.22 + x_2} \right)$$

$$g_2 = \left(\frac{1}{1 + x_3/71.5} \right) \left(\frac{x_2}{0.44 + x_2} \right)$$

onde x_1 , x_2 e x_3 são as concentrações da massa celular, substrato e produto (g/L), e x_4 é o volume (L). As condições iniciais são:

$$x(t_0) = (1, 150, 0, 10)^T.$$



Universidade do Minho

Control óptimo

❖ Formulação geral

❖ Caso particular
de processo
semi-contínuo

❖ Abordagem para
a resolução

Abordagem para a resolução

- As restrições nas variáveis de estado são incluídas na função objectivo através de uma função de penalidade infinita.

$$\hat{J}(t_f) = \begin{cases} J(t_f) & \text{if } \underline{x} \leq x(t) \leq \bar{x}, \forall t \in [t_0, t_f] \\ -\infty & \text{caso contrário} \end{cases}$$

- As restrições nas variáveis de controlo são aproximadas por splines lineares

$$\underline{u} \leq w_i \leq \bar{u}.$$

em que w_i são os nós da spline linear.
(O problema deixa de ser semi-infinito.)

- Solução da equação diferencial com o CVODE.
- Problemas codificados em AMPL.



Abordagem para a resolução

- As restrições nas variáveis de estado são incluídas na função objectivo através de uma função de penalidade infinita.

$$\hat{J}(t_f) = \begin{cases} J(t_f) & \text{if } \underline{x} \leq x(t) \leq \bar{x}, \forall t \in [t_0, t_f] \\ -\infty & \text{caso contrário} \end{cases}$$

- As restrições nas variáveis de controlo são aproximadas por splines lineares

$$\underline{u} \leq w_i \leq \bar{u}.$$

em que w_i são os nós da spline linear.
(O problema deixa de ser semi-infinito.)

- Solução da equação diferencial com o CVODE.
- Problemas codificados em AMPL.



Abordagem para a resolução

- As restrições nas variáveis de estado são incluídas na função objectivo através de uma função de penalidade infinita.

$$\hat{J}(t_f) = \begin{cases} J(t_f) & \text{if } \underline{x} \leq x(t) \leq \bar{x}, \forall t \in [t_0, t_f] \\ -\infty & \text{caso contrário} \end{cases}$$

- As restrições nas variáveis de controlo são aproximadas por splines lineares

$$\underline{u} \leq w_i \leq \bar{u}.$$

em que w_i são os nós da spline linear.
(O problema deixa de ser semi-infinito.)

- Solução da equação diferencial com o CVODE.
- Problemas codificados em AMPL.



Universidade do Minho

Control óptimo

❖ Formulação geral

❖ Caso particular
de processo
semi-contínuo

❖ Abordagem para
a resolução

Abordagem para a resolução

- As restrições nas variáveis de estado são incluídas na função objectivo através de uma função de penalidade infinita.

$$\hat{J}(t_f) = \begin{cases} J(t_f) & \text{if } \underline{x} \leq x(t) \leq \bar{x}, \forall t \in [t_0, t_f] \\ -\infty & \text{caso contrário} \end{cases}$$

- As restrições nas variáveis de controlo são aproximadas por splines lineares

$$\underline{u} \leq w_i \leq \bar{u}.$$

em que w_i são os nós da spline linear.
(O problema deixa de ser semi-infinito.)

- Solução da equação diferencial com o CVODE.
- Problemas codificados em AMPL.



Universidade do Minho

Optimização global
e multi-local

Optimização global e multi-local



Universidade do Minho

Colónia de
partículas

❖ O Paradigma da
colónia de
partículas (CP)

- ❖ Nova posição e
velocidade
- ❖ A melhor
partícula da
colónia
- ❖ Resultados
- ❖ Profiles

O Paradigma da colónia de partículas (CP)

Os algoritmos baseados em colónia de partículas tentam imitar o comportamento social de uma população (colónia) de indivíduos (partículas).

O comportamento de um indivíduo é uma combinação da sua experiência passada (influência cognitiva) e da experiência da sociedade (influência social).

No contexto da optimização, uma partícula p , no instante t , é representada pela sua posição actual ($x^p(t)$), a sua melhor posição de sempre ($y^p(t)$) e uma velocidade de *viagem* ($v^p(t)$).



Universidade do Minho

Colónia de
partículas

❖ O Paradigma da
colónia de
partículas (CP)

❖ Nova posição e
velocidade

❖ A melhor
partícula da
colónia

❖ Resultados

❖ Profiles

Nova posição e velocidade

A nova posição da partícula é actualizada por

$$x^p(t+1) = x^p(t) + v^p(t+1),$$

onde $v^p(t+1)$ é a nova velocidade dada por

$$v_j^p(t+1) = \iota(t)v_j^p(t) + \mu\omega_{1j}(t) (y_j^p(t) - x_j^p(t)) + \nu\omega_{2j}(t) (\hat{y}_j(t) - x_j^p(t)),$$

para $j = 1, \dots, n$.

- $\iota(t)$ é o factor de inércia
- μ é o parâmetro *cognitivo* e ν é o parâmetro *social*
- $\omega_{1j}(t)$ e $\omega_{2j}(t)$ são números aleatórios obtidos da distribuição uniforme $(0, 1)$.



Universidade do Minho

Colónia de
partículas

❖ O Paradigma da
colónia de
partículas (CP)

❖ Nova posição e
velocidade

❖ A melhor
partícula da
colónia

❖ Resultados

❖ Profiles

Nova posição e velocidade

A nova posição da partícula é actualizada por

$$x^p(t+1) = x^p(t) + v^p(t+1),$$

onde $v^p(t+1)$ é a nova velocidade dada por

$$v_j^p(t+1) = \iota(t)v_j^p(t) + \mu\omega_{1j}(t) (y_j^p(t) - x_j^p(t)) + \nu\omega_{2j}(t) (\hat{y}_j(t) - x_j^p(t)),$$

para $j = 1, \dots, n$.

- $\iota(t)$ é o factor de inércia
- μ é o parâmetro *cognitivo* e ν é o parâmetro *social*
- $\omega_{1j}(t)$ e $\omega_{2j}(t)$ são números aleatórios obtidos da distribuição uniforme $(0, 1)$.



Universidade do Minho

Colónia de
partículas

❖ O Paradigma da
colónia de
partículas (CP)

❖ Nova posição e
velocidade

❖ A melhor
partícula da
colónia

❖ Resultados

❖ Profiles

Nova posição e velocidade

A nova posição da partícula é actualizada por

$$x^p(t+1) = x^p(t) + v^p(t+1),$$

onde $v^p(t+1)$ é a nova velocidade dada por

$$v_j^p(t+1) = \iota(t)v_j^p(t) + \mu\omega_{1j}(t) (y_j^p(t) - x_j^p(t)) + \nu\omega_{2j}(t) (\hat{y}_j(t) - x_j^p(t)),$$

para $j = 1, \dots, n$.

- $\iota(t)$ é o factor de inércia
- μ é o parâmetro *cognitivo* e ν é o parâmetro *social*
- $\omega_{1j}(t)$ e $\omega_{2j}(t)$ são números aleatórios obtidos da distribuição uniforme $(0, 1)$.



Universidade do Minho

Colónia de
partículas

❖ O Paradigma da
colónia de
partículas (CP)

❖ Nova posição e
velocidade

❖ A melhor
partícula da
colónia

❖ Resultados

❖ Profiles

Nova posição e velocidade

A nova posição da partícula é actualizada por

$$x^p(t+1) = x^p(t) + v^p(t+1),$$

onde $v^p(t+1)$ é a nova velocidade dada por

$$v_j^p(t+1) = \iota(t)v_j^p(t) + \mu\omega_{1j}(t) (y_j^p(t) - x_j^p(t)) + \nu\omega_{2j}(t) (\hat{y}_j(t) - x_j^p(t)),$$

para $j = 1, \dots, n$.

- $\iota(t)$ é o factor de inércia
- μ é o parâmetro *cognitivo* e ν é o parâmetro *social*
- $\omega_{1j}(t)$ e $\omega_{2j}(t)$ são números aleatórios obtidos da distribuição uniforme $(0, 1)$.



Universidade do Minho

Colónia de
partículas

- ❖ O Paradigma da colónia de partículas (CP)
- ❖ Nova posição e velocidade
- ❖ **A melhor partícula da colónia**
- ❖ Resultados
- ❖ Profiles

A melhor partícula da colónia

$\hat{y}(t)$ é a posição da partícula com melhor valor de sempre da função objectivo, *i.e.*,

$$\hat{y}(t) = \arg \min_{a \in \mathcal{A}} f(a)$$

$$\mathcal{A} = \{y^1(t), \dots, y^s(t)\}.$$

onde s é o tamanho da população.



Universidade do Minho

Colónia de
partículas

- ❖ O Paradigma da colónia de partículas (CP)
- ❖ Nova posição e velocidade
- ❖ **A melhor partícula da colónia**
- ❖ Resultados
- ❖ Profiles

A melhor partícula da colónia

$\hat{y}(t)$ é a posição da partícula com melhor valor de sempre da função objectivo, *i.e.*,

$$\hat{y}(t) = \arg \min_{a \in \mathcal{A}} f(a)$$

$$\mathcal{A} = \{y^1(t), \dots, y^s(t)\}.$$

onde s é o tamanho da população.

Do ponto de vista algorítmico apenas é necessário guardar o índice da partícula que obteve o melhor valor da função objectivo.



Resultados

Problemas de controlo óptimo em processos semi-contínuos.

Colónia de partículas

- ❖ O Paradigma da colónia de partículas (CP)
- ❖ Nova posição e velocidade
- ❖ A melhor partícula da colónia
- ❖ **Resultados**
- ❖ Profiles

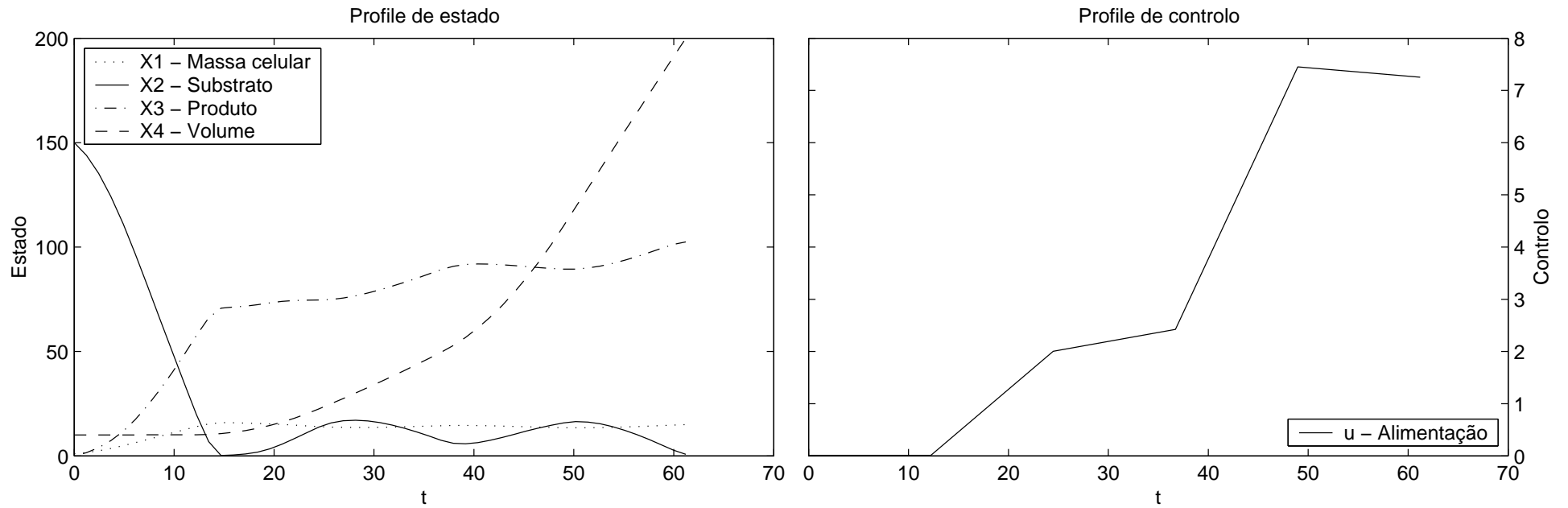
Problem	NT	MLOCPSOA		Reportados	
		$\hat{J}(t_f)$	t_f	$\hat{J}(t_f)$	t_f
penicillin	1	121.63	132.00	87.99	132.00
ethanol	1	20490.40	61.20	20839.00	61.17
chemotherapy	1	16.28	84.00	17.48	84.00
hprotein	1	18.73	15.00	32.40	15.00
rprotein	2	2.77	10.00	0.80	10.00

Resultados numéricos com o *solver* MLOCPSOA (sem optimização multi-local).



Profiles

Universidade do Minho





Universidade do Minho

MLPSO

❖ CP para
optimização
multi-local

CP para optimização multi-local

A equação da velocidade é modificada para

$$v_j^p(t+1) = \iota(t)v_j^p(t) + \mu\omega_{1j}(t)(y_j^p(t) - x_j^p(t)) + \nu\omega_{2j}(t)(\mathcal{D}),$$

para $j = 1, \dots, n$, em que \mathcal{D} é uma direcção de subida (descida).

A inclusão da direcção de subida local na equação da velocidade permite que cada partícula seja conduzida para um óptimo local.



Universidade do Minho

Optimização global

❖ PSwarm - *Pattern Swarm*

❖ Resultados

PSwarm - Pattern Swarm

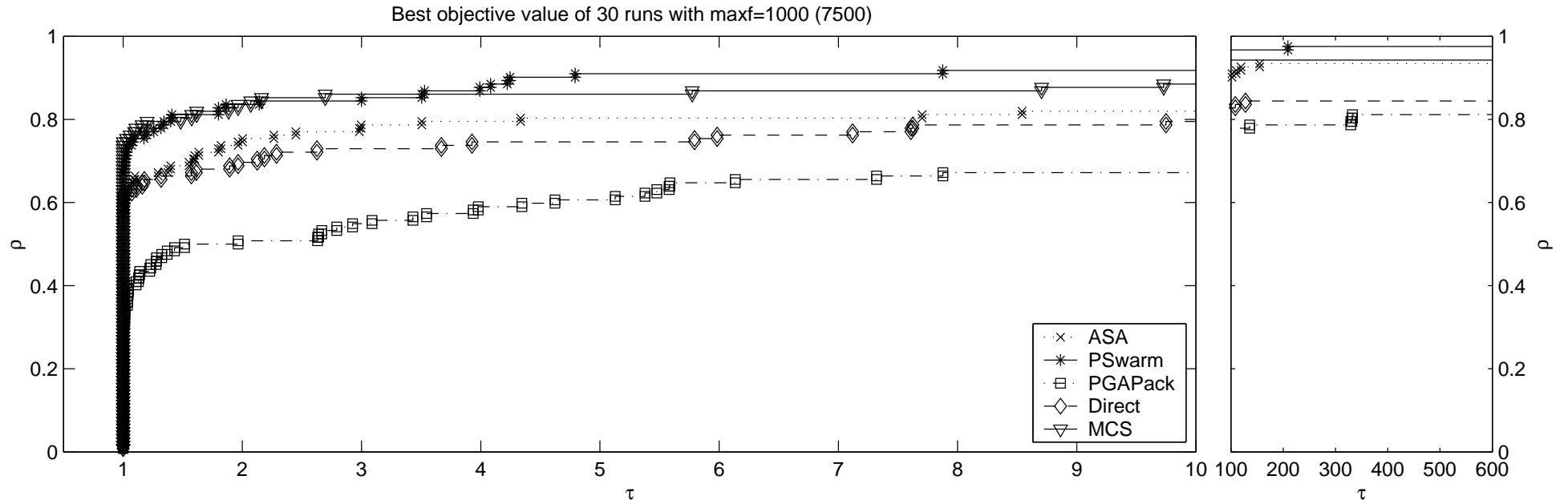
PSwarm é um algoritmo que combina a técnica de colónia de partículas com a procura em padrão.

Quando a colónia de partículas não é capaz de progredir a procura em padrão é utilizada para refinar a solução.



Resultados

Universidade do Minho





Universidade do Minho

Contribuições

❖ Contribuições

Contribuições

Publicações

- 20 palestras em conferências nacionais e internacionais.
- 18 resumos em conferências nacionais e internacionais
- 19 trabalhos completos (revistas nacionais e internacionais - conferências internacionais).

Futuro

- *A particle swarm pattern search method for bound constrained nonlinear optimization - ISMP 2006.*
- *Optimal control in fed-batch fermentation processes with particle swarm optimization - SEIO 2006.*

Entre outros em progresso.



Universidade do Minho

Trabalho futuro

❖ Trabalho futuro

Trabalho futuro

- Controlo óptimo - Splines cúbicas para aproximar as trajectórias (é um problema de PSI);
- Optimização multi-local - Novas direcções de procura local;
- PSwarm - Paralelismo e inclusão de restrições.



Universidade do Minho

Trabalho futuro

❖ Trabalho futuro

Trabalho futuro

- Controlo óptimo - Splines cúbicas para aproximar as trajectórias (é um problema de PSI);
- **Optimização multi-local - Novas direcções de procura local;**
- PSwarm - Paralelismo e inclusão de restrições.



Universidade do Minho

Trabalho futuro

❖ Trabalho futuro

Trabalho futuro

- Controlo óptimo - Splines cúbicas para aproximar as trajectórias (é um problema de PSI);
- Optimização multi-local - Novas direcções de procura local;
- PSwarm - Paralelismo e inclusão de restrições.



Universidade do Minho

Fim

email: aivaz@dps.uminho.pt

Web <http://www.norg.uminho.pt/>

Fim

❖ Fim